

شبیه‌سازی عددی جریان آشفته بین استوانه‌های هم مرکز با چرخش استوانه‌ی داخلي

ابوالحسن عسگری‌شمسی (دانشجوی کارشناسی ارشد)

بیژن فرهانیه (استاد)

دانشکده‌ی مهندسی مکانیک، دانشگاه صنعتی شریف

در این نوشتار میدان سرعت و دما در فاصله‌ی هواپی دو استوانه‌ی هم مرکز به صورت عددی مورد بررسی قرار گرفته است. در حالتی که استوانه‌ی داخلي با سرعت دورانی ثابت حول محور خود می‌چرخد و استوانه‌ی خارجي ثابت است، سیال با جریان یکنواخت وارد فاصله‌ی هواپی بین دو استوانه می‌شود و به صورت توسعه‌یافته خارج می‌شود. شرایط مرزی گرمایی شار ثابت و آبیاتیک بر دیوار داخلي و دیوار خارجي اعمال می‌شود و در هر حالت، مقدار عدد نوسل روی دیواری که تحت شار ثابت است محاسبه خواهد شد. مشاهده می‌شود که با افزایش سرعت دورانی در هر حالت عدد نوسل افزایش می‌یابد.

a_shamsi@mech.sharif.edu
bifa@sharif.edu

واژگان کلیدی: استوانه‌های هم مرکز، عدد تیلور، عدد نوسل، جریان آشفته، سرعت زاویه‌یی.

مقدمه

عددی تحت عنوان عدد تیلور تعریف کرد:

$$Ta = \frac{V_w (r_o - r_i)}{\nu} \sqrt{\frac{D_h}{2r_m}}$$

که در آن V_w سرعت دورانی دیوار داخلي است. در سال ۱۹۴۳ بر پايه‌ی تحقیقات آزمایشگاهی، جریان حلقوی آرام و معشوش بین استوانه‌های هم مرکز مورد مطالعه قرار گرفت.^[۱] نتایج حاصله نشان داد که بر اثر دوران استوانه‌ی داخلي یک جریان ورتکس در هر دو رژیم آرام و آشفته القا می‌شود به‌گونه‌یی که در جریان آرام محور جریان ورتکس بر محور دوران عمود است، در حالی که در جریان معشوش غیر متعامد است.^[۲]

تحقیقات انجام‌شده در سال ۱۹۶۱ نشان داد که جریان انداز در راستای محوری بر ساختار جریان تأثیری پایدار دارد. برای جریان محوری با رینولدزهای پایین، عدد تیلور بحرانی که در آن رژیم جریان تغییر می‌کند طبق رابطه‌ی ۱ افزایش می‌یابد:

$$Ta_{cr} (Re_z) = Ta_{cr} (Re_z = 0) + 26.5 Re_z^{\frac{1}{8}} \quad (1)$$

گزلى^[۳] رابطه‌ی عدد نوسل با رینولدز مؤثر را چنین بیان کرد:

$$Nu \approx (Re_{eff})^{0.8} \quad (2)$$

که در آن رینولدز مؤثر مطابق رابطه‌ی ۳ بیان می‌شود:

$$Re_{eff} = \frac{U_{eff} D_h}{\nu} \quad (3)$$

محاسبه‌ی میدان سرعت و دما بین دو استوانه‌ی هم مرکز به عنوان مسئله‌ی اساسی در محاسبه‌ی حرارت و افت فشار در وسائل مخلوط‌کننده‌ی شیمیایی، توربوماشین‌ها، یاتاقان‌ها، مبدل‌های حرارتی چرخشی، حفاری چاه‌های نفتی، خنک‌کاری در ماشین‌های الکتریکی و میکروزنترورهای دوربالا کاربرد دارد. در این وسائل دست آوردن میدان جریان و انتقال حرارت در فاصله‌ی هواپی بین استوانه‌ی ثابت و استوانه‌ی چرخنده اهمیت بسیاری در طراحی سیستم خنک‌کاری، تعیین میدان دبی سیال مورد نیاز برای خنک‌کاری، و افت نشار ناشی از عبور سیال از این فاصله دارد. مسئله در حالت کلی سه‌بعدی همراه با لایه‌ی مرزی آشفته است.

درخصوص میدان سرعت و دما بین دو استوانه‌ی هم مرکز تحقیقات متعددی انجام شده است. اولین بار در سال ۱۹۲۳ جریان میان دو استوانه‌ی هم مرکز به وسیله‌ی تیلور مورد بررسی قرار گرفت.^[۴] او پایداری جریان بین دو استوانه‌ی چرخنده خارجي می‌چرخد و استوانه‌ی داخلي ساکن است جریان پایدار خواهد بود و در غیر این صورت جریان ناپایدار می‌شود. او در مشاهداتش ملاحظه کرد که با افزایش سرعت دورانی استوانه‌ی داخلي و عبور آن از یک سرعت دورانی بحرانی ورتکس‌هایی در راستای محوری تشکیل می‌شود. به این ترتیب جریان از حالت دو بعدی خارج و به صورت سه‌بعدی درمی‌آید. علمت به وجود آمدن این ورتکس‌ها ناپایدارشدن جریان آرام بین دو استوانه براز نیروهای شناور ناشی از گریز از مرکز است. او برای نشان دادن سرعت بحرانی،

در رابطه‌ی ۷ نيزامند محاسبه‌ی μ_t هستيم که با استفاده از مدل‌های مختلفي نظير اسپالارت و $-k$ - اين کار ممکن خواهد بود. بر اين مبنای، انرژي جنبشی آشفتگی و نرخ اتلاف آن طبق روابط ۱۱-۸ مدل می‌شوند. در اين معادلات μ لزجت ناشی از تأثيرات گردابیي در جريان آشفته و μ_{eff} لزجت کل جريان بعد از اعمال اثرات گردابیي است.

$$\frac{\partial}{\partial x_j}(\rho \overline{u_j} k) = \frac{\partial}{\partial x_j}\left(\frac{\mu_{eff}}{\sigma_k} \frac{\partial k}{\partial x_j}\right) + \mu_t\left(\frac{\partial \overline{u_j}}{\partial x_i} + \frac{\partial \overline{u_i}}{\partial x_j}\right)\frac{\partial \overline{u_i}}{\partial x_j} - \rho \varepsilon \quad (\lambda)$$

$$\begin{aligned} \frac{\partial}{\partial x_j} (\rho \bar{u}_j \varepsilon) &= \frac{\partial}{\partial x_j} \left(\frac{\mu_{eff}}{\sigma_\varepsilon} \frac{\partial \varepsilon}{\partial x_j} \right) + c_1 \frac{\varepsilon}{k} \mu_t \left(\frac{\partial \bar{u}_j}{\partial x_i} + \frac{\partial \bar{u}_j}{\partial x_j} \right) \frac{\partial u_i}{\partial x_j} \\ &\quad - c_1 \frac{\varepsilon}{k} \rho \end{aligned} \quad (4)$$

$$\mu_t = c_\mu \rho \frac{k^\dagger}{\varepsilon} \quad (\text{v.})$$

$$\mu_{eff} = \mu_t + \mu \quad (11)$$

همچنین در این مدل، شار حرارتی رینولدز براساس رابطه‌ی ۱۲ و ۱۳ مدل می‌شود.
در این رابطه‌ها α_1 توزیع حرارتی ناشی از حرکت گردابی است.

$$\overline{u'_i \theta'} = -\alpha_t \left(\frac{\partial T}{\partial x_i} \right) \quad (12)$$

$$\alpha_t = \frac{c_\mu}{Pr_t} \frac{k^\tau}{\varepsilon} \quad (13)$$

در رابطه‌ی Pr_t ، عدد پرانتل آشتفتگی است و در محدوده‌ی $0 \leq t \leq 1/3$ فرار دارد. مقادیر عددی سایر ضرایب در جدول ۱ آورده شده است.

ح۱ عددي

به مهندسی تحلیل عددی، یک کد رایانه‌بی توسعه یافته به طوری که جریان به صورت سه بعدی، دائم و آشفته در حالت تراکم ناپذیر مدل سازی شده است. محاسبات کد بر پایهٔ حل معادلات دیفرانسیل پاره‌بی حاکم بر جریان است. این معادلات به روش حجم محدود^۴ گسترش می‌شود. معادلات اندازه حرکت برای مؤلفه‌های سرعت در دستگاه مختصات دکارتی و شبکه‌ی متمنکز^۵ حل می‌شوند. معادلات گسترش شده به صورت رابطه‌ی ۱۴ بازنوسی می‌شوند:

$$a_P \phi_P = \sum a_{NB} \phi_{NB} + S_C \quad (14)$$

متغیر ϕ می تواند هر یک از متغیرهای U, V, W, T, k, ϵ باشد. برای به دست آوردن سرعت روی سطوح حجم کنترل از میان یابی رای-چاو^۶ استفاده شده است. همچنین با استفاده از معادله پیوستگی به معادله‌یی برای تصحیح فشار دست می‌یابیم. برای ارتباط بین میدان سرعت و فشار نیز از الگوریتم سیمپلسی^۷ استفاده شده

برای تخمین شارهای جابه‌جایی از طرح کوئیک^۸ استفاده می‌کنیم. این طرح دارای خطای قطعی از مرتبه‌ی سوم است و به کارگیری آن در مسائل کم انتشار^۹ مفید است. استفاده از روش‌های مرتبه‌ی پانز، مانند روش بادسو^{۱۰} ی مرتبه‌ی اول، در

حدول ۱. ضوابط مورد استفاده در معادله‌ی ε

c_1	c_2	c_μ	σ_k	σ_ε	ضریب
۱/۴۴	۱/۹۲	۰/۰۹	۱/۰	۱/۳	مقدار

سرعت مؤثر (U_{eff}) براساس سرعت متوسط در راستای محوری (U_m) و سرعت دورانی دیوار داخلی (V_w) تعریف می شود:

$$U_{eff} = \sqrt{(U_m^r + V_w^r/\epsilon)} \quad (4)$$

بعد از استفاده از سرعت مؤثر برای عدد رینولدز، رابطه‌ی ۵ برای عدد نوسل ارائه شد:^[۲]

$$Nu = \frac{r_o}{r_i} \left(1 + \frac{Pr}{L} \right) \left(\frac{r_o}{r_i} \right)^{\frac{1}{1 + \frac{Pr}{L}}} (Re_{eff})^{\frac{1}{1 + \frac{Pr}{L}}} Pr^{\frac{1}{1 + \frac{Pr}{L}}} \quad (5)$$

سرعت متوسط و مؤلفه های تانسور تششی بشوشی رینولدز برای سیالات نیوتی و غیر نیوتی از طریق سرعت سنجی لیزری داپلری (LDV)^۱ اندازه گیری شد. [۵] محققین در بررسی جریان آشفته بین دو استوانه دواره هم مرکز، از مدل سازی کردابه های برگ^۲ استفاده کردند. آنان این تحقیق را در سرعت های دورانی پایین انجام داده اند به طوری که نسبت چرخش ($N = V_w / U_m$) کوچک تر از ۱ باشد. [۶]

در این نوشتار، مسئله‌ی میدان جریان و انتقال سه بعدی حرارت به روش عددی شبیه‌سازی شده است. جریان در حالت تراکم ناپذیر برای سرعت دورانی استوانه‌ی داخلی در حدود 8000 دور در دقیقه (نسبت چرخش در حدود 20) بررسی شده است. از مدل $\epsilon - k$ - برای مدل سازی آشفتگی استفاده شده است. درنتیجه‌ی بررسی کامل میدان دما تحت شرایط مرزی مختلف، می‌توان دما روی سطح استوانه‌ی داخلی و خارجی را محاسبه کرد و از آن‌ها برای محاسبه‌ی تنش‌های حرارتی در طراحی استفاده کرد.

فرمولاسیون ریاضی

معادلات بقای جرم، اندازه حرکت و انرژی، معادلات دیفرانسیل حاکم بر میدان جریان سیال اند که در تمام محیط‌ها صدق می‌کنند. در مدل سازی عددی مستقیم^۳ نیز همین معادلات --- به صورت کامل همراه با شرایط دقیق مرزی و اولیه --- توسط ابرهایانه‌ها حل می‌شوند. اما در حال حاضر قوی‌ترین ابرهایانه‌ها نیز فقط قادر به حل جریان‌های ساده هستند. لذا به منظور حل مسائل پیچیده‌تر باید ساده‌سازی‌هایی بر روی این معادلات صورت پذیرد. بدین منظور کمیت‌های جریان به دو بخش متوضط و نوسانی تقسیم؛ و در این معادلات قرار داده می‌شود و سپس متوضط‌گیری زمانی روی آن‌ها صورت می‌پذیرد. نتیجه‌ای این متوضط‌گیری زمانی ایجاد معادلات متوضط‌گیری شده است.

$$\rho \left(\frac{\partial \overline{u_i}}{\partial t} + \overline{u_j} \frac{\partial \overline{u_i}}{\partial x_j} \right) = - \frac{\partial P}{\partial x_i} + \frac{\partial}{\partial x_j} [\mu \left(\frac{\partial \overline{u_i}}{\partial x_j} + \frac{\partial \overline{u_j}}{\partial x_i} \right) - \rho \overline{u'_i u'_j}] \quad (8)$$

همان طور که در معادله ۶ مشاهده می شود یک عبارت اضافی ($z'u' - \rho u$) در معادلات ناوبری استوکس وارد شده که ناچار به مدل کردن آن هستیم. بوزینسک با ارائه یک رابطه سعی در مدل کردن آن کرد. با استفاده از این رابطه، مدل های مختلفی نظری اسپلالزات، $\epsilon - k$ ، و تنش های رینولوزد ارائه شده است. مدل $\epsilon - k$ یکی از پرکاربردترین مدل های آشتفتگی در محاسبات عددی است. در این مدل ترم های تنش رینولوزد به وسیله ای رابطه ای بوزینسک (رابطه ۷) تقریب زده می شود و لذا معادلات حقیقی، آن ها حل نمای شوند:

$$\rho \bar{u'_i} \bar{u'_j} = -\mu_t \left(\frac{\partial \bar{u_i}}{\partial x_i} + \frac{\partial \bar{u_j}}{\partial x_i} \right) + \frac{\gamma}{\tau} \rho k \delta_{ij} \quad (\forall)$$

جدول ۳. خواص متوسط جریان.

$14,0$	$13,79$	$13,34$	N
315	310	300	Ta
$11,37$	$11,22$	$10,93$	$Re_\tau(Inner)$
$5,84$	$5,78$	$5,67$	$Re_\tau(Outer)$
$2,52$	$2,49$	$2,42$	$C_f(Inner)$
$2,85$	$2,82$	$2,78$	$C_f(Outer)$

آشفتگی 10% انرژی جنبشی جریان فرض می‌شود؛ در خروج نیز شرط توسعه یافته‌گی اعمال شده است.

جریان ورودی دارای دمای ثابت، دیوار داخلی آبدبایتیک و دیوار خارجی تحت شار ثابت‌گرمایی است. در این حالت تغییرات عدد نوسل روی دیوار خارجی محاسبه شده، و در حالت دیگر این شرایط مرزی معکوس شده و تغییرات عدد نوسل روی دیوار داخلی به دست آمده است. سیال عامل هوا با خواص ثابت در نظر گرفته شده است.

نتایج

(الف) میدان سرعت

برای اعتماد به دقت نتایج، در جدول ۳ مقادیر متوسط جریان برای سه مقدار مختلف نسبت چرخش، در رینولدز محوری اندک و سرعت دورانی پایین محاسبه شده است. عدد تیلور (Ta) با سرعت متوسط محیطی روی دیوار (V_w) رابطه‌ی مستقیم دارد. ضریب اصطکاک پوسته‌ی براساس تش تش برشی متوسط روی دیوار داخلی با خارجی تعریف می‌شود.

$$C_f = \frac{2\tau_z}{\rho V_w^2} \quad (16)$$

در جدول ۳ دیده می‌شود که با افزایش نسبت چرخش، مقدار C_f افزایش می‌یابد و در هر حالت این مقدار روی دیوار چرخان بیشتر است. Re_τ براساس سرعت اصطکاکی Q_t روی دیوار داخلی یا خارجی مطابق رابطه ۱۷ تعریف می‌شود. δ نصف فاصله‌ی هوایی و v گران روی سینماتیک سیال است.

$$Re_\tau = \frac{Q_t \delta}{v}, \quad Q_t = \left(\sqrt{\tau_z + \tau_\theta} / \rho \right)^{\frac{1}{2}} \quad (17)$$

τ_z تشن متوسط روی دیوار در جهت محوری و τ_θ تشن متوسط روی دیوار در جهت محیطی است.

در شکل ۲ و ۳ نتایج کار حاضر با نتایج عددی موجود^[۶] مقایسه شده است. اختلاف مشاهده شده در این نمودارها ناشی از اختلاف روش‌های شبیه‌سازی آشفتگی است. تغییرات شعاعی به صورت رابطه ۱۸ بی بعد شده است:

$$\bar{r} = \frac{2(r - r_i)}{r_o - r_i} \quad (18)$$

نمودار سرعت محوری از مقدار کمینه‌ی خود که محصول شرط عدم لغزش روی دیوار است به تدریج افزایش می‌یابد و تقریباً در وسط فاصله‌ی هوایی به مقدار بیشینه می‌رسد.

برای بررسی تأثیر سرعت چرخشی دیوار داخلی روی میدان سرعت، در یک عدد رینولدز محوری ثابت و در سه سرعت چرخشی مختلف، پروفیل سرعت محوری

مدل سازی شارهای جابه‌جایی باعث مشاهده‌ی نتایج غیر فیزیکی می‌شود. برای مثال با استفاده از یک روش مرتبه پایین دیده می‌شود که بردارهای سرعت به سمت داخل دیوار چرخان منحرف می‌شود که با استفاده از طرح کوئیک این مشکل قابل حل است.

برای حل دستگاه معادلات گسسته شده از الگوریتم حل ماتریس سه‌قطري^{۱۱} استفاده شده است. در این روش، ابتدا گره‌های شبکه در جهت شمال - جنوب و سپس در جهت شرق - غرب و در انتهای نیز در جهت بالا - پایین جاروب می‌شود. در طی روند حل و در هر نکار، باقی مانده‌ها برای تکنیک حجم‌های کنتربل محاسبه و سپس قدر مطلق آن‌ها با یکدیگر جمع می‌شود و به عنوان باقی مانده‌ی کالی منتظر خواهد شد. باقی مانده‌ها برای حل معادله به طور جداگانه از رابطه ۱۵ محاسبه می‌شوند.

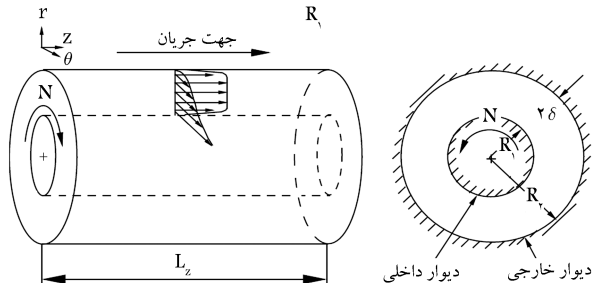
$$R_\phi = a_P \phi_P - \left(\sum a_{NB} \phi_{NB} + S_C \right) \quad (15)$$

در حل عددی، مقادیر باقی مانده‌ها برای متغیرها در حالت هم‌گرامی تقریباً از مرتبه ۵-۱۰ است. مقادیر ضرایب مادون رهایی^{۱۲} برای نسبت‌های مختلف طول به شعاع و همچنین سرعت‌های دورانی مختلف متفاوت است. به علت گردانی شدید سرعت و دما در نزدیکی دیوار داخلی و خارجی، از یک شبکه‌ی محاسباتی غیر یکنواخت استفاده شده است. تعداد شبکه در جهت محوری 10^0 در جهت محیطی 6^0 در جهت شعاعی 5^0 است.

هندسه‌ی مسئله و شرایط مرزی

در این مسئله میدان جریان و انتقال حرارت میان دو استوانه هم‌مرکز به صورت سه‌بعدی و جریان پایا^{۱۳} شبیه‌سازی شده است. هندسه‌ی مسئله در شکل ۱ و ابعاد هندسی مورد استفاده در جدول ۲ ارائه شده است.

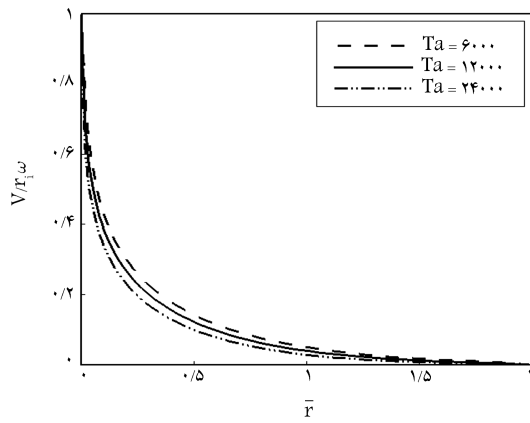
جریان سیال در ورود به فاصله‌ی هوایی بین دو استوانه به صورت جریان یکنواخت و در خروج از آن به صورت جریان توسعه یافته فرض شده است. چرخش دیوار داخلی با سرعت دورانی ثابت صورت می‌گیرد و دیوار خارجی ثابت است. با مشخص بودن اندازه‌ی سرعت روی دیوار داخلی و خارجی مقادیر متغیرهای آشفتگی روی جدار مشخص است. در ورود به فاصله‌ی هوایی مقدار انرژی جنبشی



شکل ۱. مختصات مسئله و طرح کلی آن.

جدول ۲. مشخصات هندسی مسئله.

$L(mm)$	$2\delta(mm)$	$R_1(mm)$	$R_2(mm)$	پارامتر
۱۳۵۰	۹۰	۴۵	۹۰	مقدار



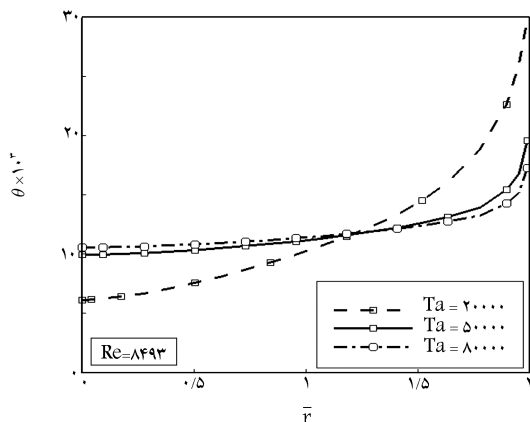
شکل ۵. مؤلفه‌ی سرعت محیطی در سه سرعت دورانی مختلف.

۱. دیوار داخلی عایق و دیوار خارجی تحت شار ثابت

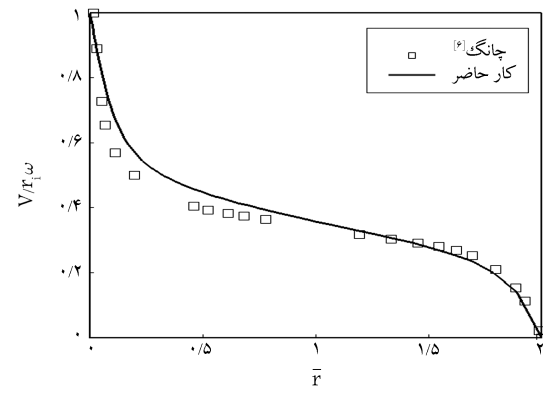
در این حالت، دمای سیال به صورت $\theta = \frac{T - T_{ent}}{q'' D_h / k}$ بی بعد شده که در آن $T_{ent} = 293K$ دمای سیال ورودی، $q'' = 10W/m^2$ شار ثابت اعمال شده بر دیوار استوانه‌ی خارجی، $D_h = 90mm$ قطر هیدرولیکی و k ضریب انتقال حرارت جابه‌جاگی سیال عامل است.

در شکل ۶ تغییرات نمودار دمای نشاں نشان داده شده است. نمودارهای دما به طور دورانی مختلف و عدد رینولدز محوری ثابت، به منظور بررسی تأثیر افزایش سرعت دورانی دیوار داخلی بر نمودار دمای نشاں اثر دارد. نمودارهای دما به طور یکنواخت از دمای دیوار داخلی به دما روی دیوار خارجی تغییر می‌کنند. در نزدیکی دیوار خارجی افزایش دمای زیادی به چشم می‌خورد؛ مشاهده می‌شود که با افزایش سرعت دورانی، دمای سطوح استوانه‌های داخلی افزایش و دمای سطوح استوانه‌های خارجی کاهش می‌یابد و درنتیجه، نمودار دمای شعاعی به طور محسوسی یکنواخت تر می‌شود. در نزدیکی دیوار داخلی «اضمحلال انرژی» و «افزایش طول اختلاط» دو عامل مهم روی نمودارهای دما هستند.

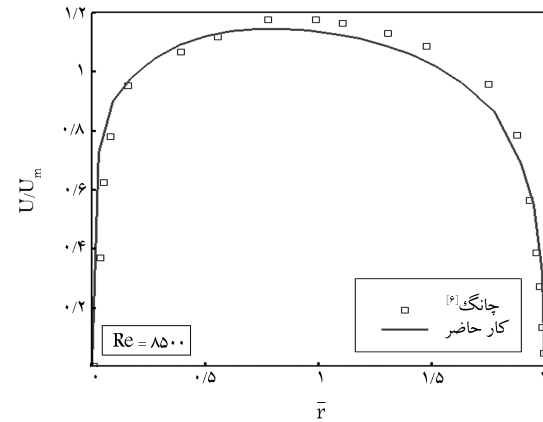
در شکل ۷ توزیع دمای دیوار داخلی در عدد رینولدز محوری ثابت و سه سرعت چرخشی متفاوت در راستای محوری ترسیم شده است. دمای دیوار داخلی، تا زمانی که شار ثابت اعمال شده بر دیوار خارجی باعث افزایش دمای آن شود، هم دما با سیال ورودی باقی می‌ماند. هنگامی که سیال طول توسعه یافته را طی می‌کند، به علت



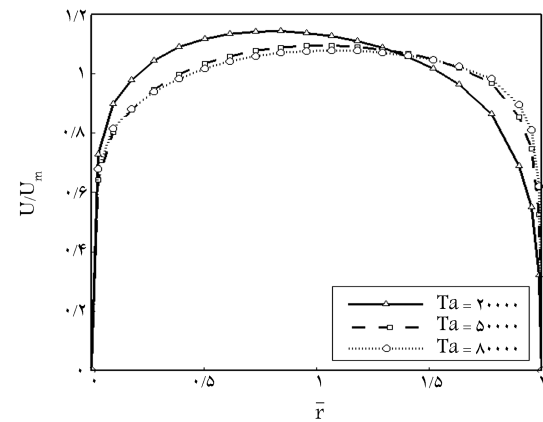
شکل ۶. نمودار دما در فاصله‌ی هوابی در سرعت‌های دورانی مختلف.



شکل ۲. مقایسه‌ی نمودار سرعت محیطی با نتایج عددی چانگ.^[۶]

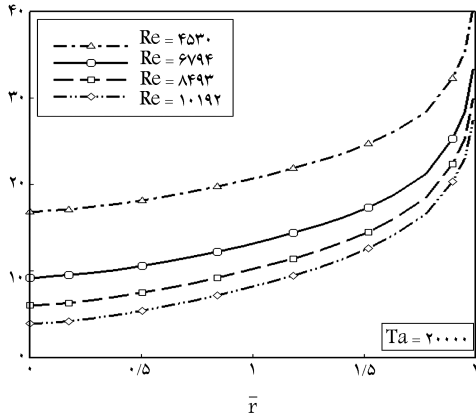


شکل ۳. مقایسه‌ی نمودار سرعت محوری با نتایج عددی چانگ.^[۶]



شکل ۴. مؤلفه‌ی سرعت محوری در سه سرعت دورانی مختلف.

محاسبه و در شکل ۴ نشان داده شده است. ملاحظه می‌شود که با افزایش عدد تیلور و درنتیجه افزایش سرعت چرخشی دیوار داخلی، با افزایش نیروی گریز از مرکز نمودار سرعت محوری به سمت دیوار استوانه‌ی خارجی متغیر می‌شود و درنتیجه ضخامت لایه مزی سرعت محوری نزدیک سطح استوانه‌ی داخلی و استوانه‌ی خارجی به ترتیب افزایش و کاهش می‌یابد. همچنین در شکل ۵ مؤلفه‌ی سرعت محیطی در سه سرعت دورانی مختلف و در یک رینولدز محوری ثابت رسم شده است. در این شکل سرعت محیطی بی بعد در برابر شعاع بی بعد رسم شده است. در سرعت محیطی روی دیوار داخلی برابر سرعت محیطی بی بعد در برابر شعاع بی بعد رسم شده در مجاورت دیوار داخلی گردایان شدید مشاهده می‌شود.



شکل ۹. نمودار دما در فاصله‌ی هوایی در عدد رینولدز محوری مختلف.

خارجی محاسبه می‌شود:

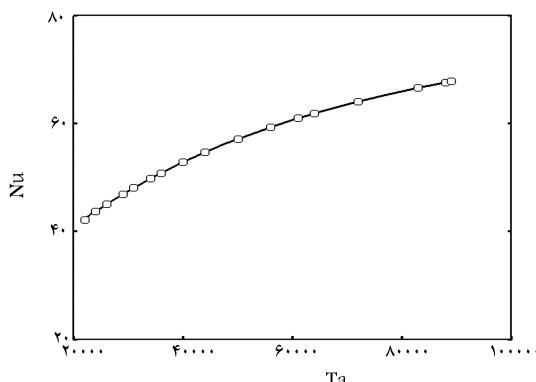
$$Nu = \frac{q''}{A \int (T_w - T_b) dA} \frac{D_h}{k} \quad (19)$$

عدد نوسل در هر سرعت دورانی در خروجی استوانه‌ها به سمت مقدار ثابتی به نام «عدد نوسل در ناحیه‌ی توسعه‌یافته» میل می‌کند. در شکل ۱۰ این مقدار در یک رینولدز محوری ثابت ($Re = 8493$) با سرعت‌های دورانی مختلف رسم شده است. دیده می‌شود که عدد نوسل در سرعت‌های دورانی پایین‌تر به تغییرات عدد تیلور حساس‌تر است و در سرعت‌های بالاتر مقدار تغییر عدد نوسل کم‌تر می‌شود. با برآذش این نتایج می‌توان نتیجه گرفت که در یک رینولدز محوری ثابت عدد نوسل براساس رابطه‌ی ۲۰ با عدد تیلور متناسب است.

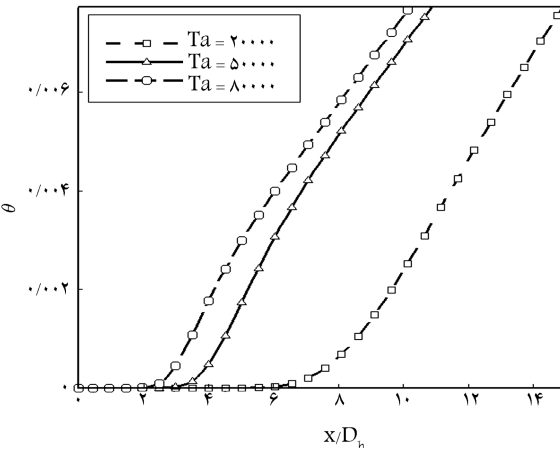
$$Nu \approx Ta^{0.34} \quad (20)$$

در جدول ۴ عدد نوسل حاصل از کد و رابطه‌ی تجربی ۵ با هم مقایسه شده‌اند. این مقادیر در رینولدز محوری و سرعت دورانی پایین به دست آمده و مشاهده می‌شود که با افزایش عدد تیلور مقدار عدد نوسل به تدریج افزایش می‌یابد.

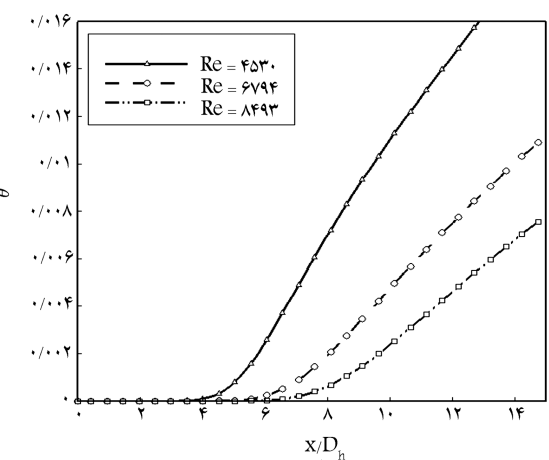
۲. دیوار داخلی تحت شار ثابت و دیوار خارجی عایق
در این بخش شرایط مرزی گرمایی حاکم بر مسئله تغییر کرده و شار ثابت گرمایی بر دیوار داخلی اعمال شده، در حالی که دیوار خارجی عایق است. در این حالت نیز سیال با دمای ثابت وارد فاصله‌ی هوایی می‌شود و عدد نوسل روی دیوار داخلی محاسبه می‌شود. در شکل ۱۱ نمودار دمایی بی بعد در فاصله‌ی هوایی در سرعت‌های دورانی مختلف و در یک عدد رینولدز محوری ثابت برای این شرایط مرزی نشان



شکل ۱۰. توزیع عدد نوسل در ناحیه‌ی توسعه‌یافته.



شکل ۷. توزیع دمای دیوار داخلی در سرعت‌های چرخشی مختلف.

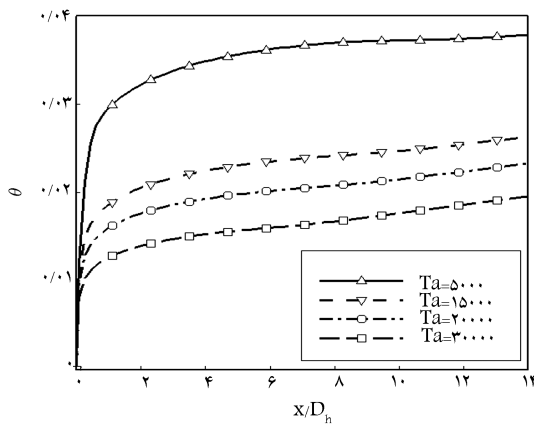


شکل ۸. توزیع دمای دیوار داخلی در سه رینولدز محوری مختلف.

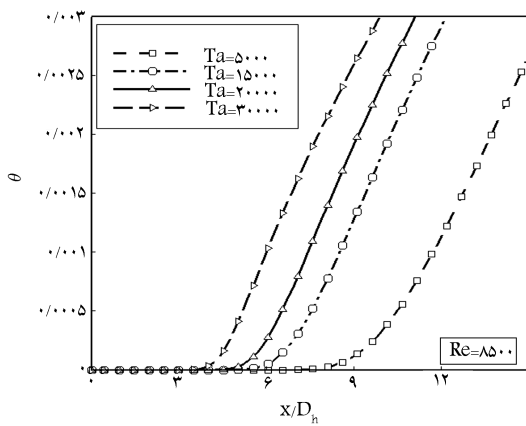
ثابت بودن مقدار شار حرارتی اعمالی بر دیوار خارجی، افزایش دما به صورت خطی خواهد بود. افزایش سرعت چرخشی باعث کاهش طول ناحیه‌ی در حال توسعه می‌شود و به شروع زودهنگام افزایش دما روی دیوار داخلی می‌انجامد. عمل آن است که با افزایش سرعت چرخشی، اندازه‌ی حرکت شعاعی جریان در مقابل اندازه‌ی حرکت محوری تقویت شده و ضخامت لایه‌ی مرزی در راستای شعاعی به سرعت افزایش می‌یابد. همچنین چرخش دیوار داخلی با سرعت دورانی بالاتر باعث می‌شود که دمای سیال خروجی نیز افزایش یابد.

در شکل ۸ توزیع دمای دیوار داخلی در سه رینولدز محوری مختلف و در یک سرعت چرخشی ثابت مشاهده می‌شود. بر این اساس افزایش عدد رینولدز باعث افزایش طول توسعه‌یافته و کاهش دمای سیال در نقطه‌ی خروج می‌شود. در رینولدزهای محوری کم‌تر جریان زودتر به حالت توسعه‌یافته می‌رسد؛ زیرا کاهش رینولدز محوری باعث ضعیف‌تر شدن اندازه‌ی حرکت محوری در برابر اندازه‌ی حرکت شعاعی می‌شود و درنتیجه لایه‌ی مرزی در عرض فاصله‌ی هوایی زودتر رشد کرده و جریان زودتر به حالت توسعه‌یافته می‌رسد.

در شکل ۹ نمودار دما در فاصله‌ی هوایی در چهار عدد رینولدز محوری مختلف و سرعت دورانی ثابت نشان داده شده است. ملاحظه می‌شود که با افزایش عدد رینولدز، به عمل افزایش دمای سیال خنک‌کننده دمای دیوار استوانه‌ی داخلی و خارجی کاهش می‌یابد. عدد نوسل در این حالت مطابق رابطه‌ی ۱۹ روی دیوار



شکل ۱۳. توزیع دمای دیوار داخلی در سرعت چرخشی مختلف.



شکل ۱۴. توزیع دمای دیوار خارجی در سرعت چرخشی مختلف.

در هر مقطع با دمای ورودی کاهش می‌یابد. افزایش سرعت دورانی باعث کاهش طول توسعه یافته‌ی گرمایی می‌شود.

در شکل ۱۴ توزیع دمای دیوارهای خارجی که عایق است مشاهده می‌شود. افزایش دمای این دیوار بعد از چهار تا هشت برابر قطر هیدرولیکی شروع می‌شود و قبل از آن دمای این دیوار برابر دمای سیال ورودی است. با افزایش سرعت چرخشی، دمای دیوار خارجی سریع‌تر افزایش می‌یابد و نیز افزایش سرعت چرخشی باعث می‌شود که دمای دیوار خارجی بالاتر باشد.

نتیجه‌گیری

در این نوشتار مسئله‌ی جریان بین دو استوانه‌ی دورانی مرکز به صورت سه بعدی شبیه‌سازی عددی شده است. در شبیه‌سازی سه بعدی امکان اعمال شرایط مرزی گرمایی مختلف در راستای محوری و محیطی فراهم می‌شود. با بررسی میدان دما و سرعت در جریان بین استوانه‌های هم مرکز دیوار اثر چرخش دیوار داخلی این مجموعه بر مؤلفه‌های سرعت و دما از طریق نمودارها ارائه شده است. با بررسی اثر چرخش دیوار داخلی بر کمیت‌های متوسط جریان، مشاهده می‌شود که سرعت دورانی باعث افزایش این کمیت‌ها می‌شود. براساس نتایج حاصله، عدد نوسل به دو دلیل افزایش می‌یابد: افزایش سرعت ذرات سیال در مجاورت سطح و کاهش ضخامت لایه‌ی مرزی. درنتیجه افزایش عدد رینولدز جریان محوری و افزایش سرعت دورانی باعث افزایش ضریب انتقال حرارت می‌شود.

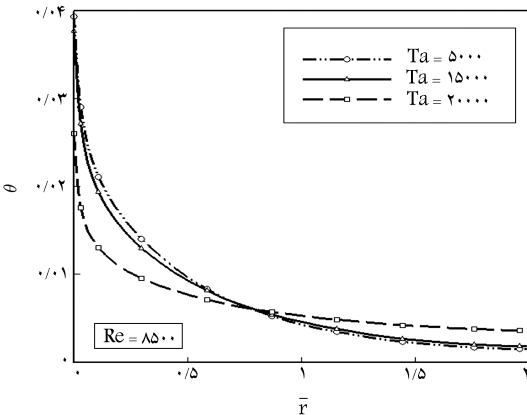
جدول ۴. مقایسه‌ی عدد نوسل حاصل از کد و رابطه‌ی تجربی ۵.

Ta	۳۰۰	۲۷۵	۲۵۰	۲۰۰	$Nu(eq5)$
۴,۰۷	۳,۸۰	۳,۵۲	۲,۹۵	۲,۹۲	Nu
۳,۵۵	۳,۳۸	۲,۲۴	۲,۹۲	۲,۹۲	درصد خطی
%۱۴	%۱۲	%۸	%۱		

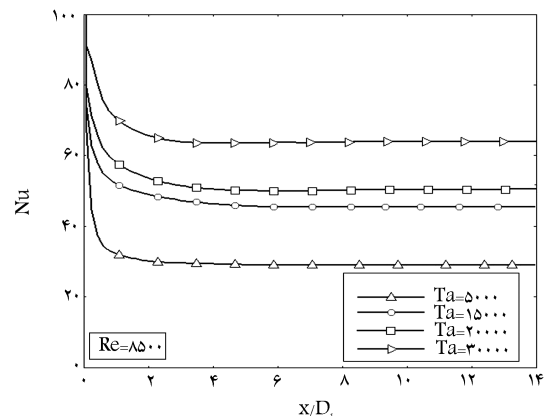
داده شده است. چنان‌که مشاهده می‌شود، با افزایش سرعت دورانی از دمای سطح استوانه‌های داخلی کاسته می‌شود در حالی که دمای سطح استوانه‌های خارجی افزایش می‌یابد. درنتیجه نمودار دمای شعاعی به‌طور محسوسی یکنواخت‌تر می‌شود.

در شکل ۱۲ توزیع عدد نوسل روی دیوار داخلی در راستای محوری مشاهده می‌شود. مقدار عدد نوسل از مقدار بیشینه در ورودی استوانه‌ها به سمت مقدار ثابتی کاهش می‌یابد. با عبور از طول توسعه یافته، عدد نوسل به سمت مقدار ثابتی می‌کند که با افزایش سرعت دورانی استوانه‌ی داخلی افزایش می‌یابد؛ این تغییر بیان‌گر این نکته است که در سرعت دورانی بالاتر مقدار ضریب انتقال حرارت از دیوار داخلی به سیال افزایش می‌یابد.

در شکل ۱۳ توزیع دمای دیوار داخلی در یک عدد رینولدز ثابت و چهار سرعت چرخشی مختلف نمایش داده شده است. دیوار داخلی که تحت شارث ثابت است در ورودی استوانه‌ها دارای افزایش دمای سهیمی‌گون است، و سپس دما به صورت خطی افزایش می‌یابد. مشاهده می‌شود که با افزایش سرعت چرخشی اختلاف دمای دیوار



شکل ۱۱. نمودار دما در فاصله‌ی هوایی در سرعت‌های دورانی مختلف.



شکل ۱۲. تغییرات عدد نوسل روی دیوار داخلی در راستای محوری.

U : سرعت محوری $[ms^{-1}]$
 U_m : سرعت متوسط محوری $[ms^{-1}]$
 V : سرعت مماسی $[ms^{-1}]$
 $V_{\theta w}$: سرعت چرخش استوانه داخلی $[ms^{-1}]$
 x : مختصات محوری

علام یونانی
 Γ : ضریب پخش در معادلات
 ϵ : نز اضمحلال انرژی $[m^3 s^{-3}]$
 μ : گران روی دینامیک $[kg ms^{-1}]$
 η : دما بی بعد
 ν : گران روی سینماتیک $[m^3 s^{-1}]$
 ρ : چگالی $[kg \cdot m^{-3}]$
 φ : متغیر جریان
 $\sigma_k, \sigma_\epsilon$: ضرایب نیمه تجربی در مدل آشفتگی
 Ω : سرعت زاویه بی دیوار داخلی

در فاصله های هوایی، ابتدا ضخامت لایه مزی حرارتی و هیدرودینامیکی کم است و سپس در جهت محوری افزایش می یابد تا هنگامی که لایه مزی سطح استوانه داخلی و خارجی به هم رسیده و جریان به حالت توسعه یافته می رسد. درنتیجه ضریب انتقال حرارت جابه جایی در ابتدا بیشینه است و در حالت توسعه یافته، یکنواخت می شود.

در رینولدز های کم تر، جریان زودتر به حالت توسعه یافته می رسد زیرا کاهش عدد رینولدز سبب ضعیف تر شدن اندازه حرکت محوری در برابر اندازه حرکت شعاعی می شود. لایه مزی در عرض فاصله های هوایی زودتر رشد کرده و جریان زودتر به حالت توسعه یافته می رسد.

با افزایش سرعت دورانی اندازه حرکت شعاعی در برابر اندازه حرکت محوری افزایش می یابد و ضخامت لایه مزی در فاصله های هوایی سریع تر افزایش می یابد و جریان زودتر به حالت توسعه یافته می رسد. افزایش سرعت دورانی دیوار داخلی باعث یکنواخت شدن توزیع دمای شعاعی می شود زیرا چرخش دیوار داخلی در سرعت دورانی بالاتر باعث اختلاط بیشتر جریان می شود.

فهرست علائم

A	: سطح بین دو استوانه
C_1, C_2, C_μ	: ثوابت نیمه تجربی در مدل آشفتگی
c_p	: ضریب گرمایی در فشار ثابت
D_h	: قطر هیدرولیکی
h	: ضریب انتقال حرارت $[W m^{-1} K^{-1}]$
k	: ضریب هدایت گرمایی $[W m^{-1} K^{-1}]$
$m^3 s^{-1}$: انرژی جنبشی آشفتگی
L	: طول استوانه
N	: نسبت چرخش
P	: فشار $[Pa]$
r	: شعاع استوانه
S	: عبارت چشمی
t	: زمان $[sec]$
T	: دما $[K]$
u	: سرعت $[ms^{-1}]$

پابلوشت

10. upwind
11. tri-diagonal matrix algorithm (TDMA)
12. under relaxation factor
13. steady flow

منابع

1. Taylor, G.I. "Stability of a viscous liquid contained between tow rotating cylinders", *Philosophical Transactions*

1. laser doppler velocimetry
2. large-eddy simulation
3. direct numerical simulation
4. finite volume
5. collocated
6. Rhee-Chow
7. SIMPLE C
8. QUICK
9. low diffusion problems

- of the Royal Society of London, England, Series A, **223**, pp. 289-343 (1923).
2. Pai, S.I., *Turbulent Flow Between Rotating Cylinders*, NACA TN 892 (March 1943).
3. Kuzay, T.M. and Scott, C.J. "Turbulent heat transfer studies in annulus with inner cylinder rotation", *Journal of Heat Transfer*, 99, PP.12-20 (1977).
4. Tachibana, F. and Fukui, S. "Convective heat transfer of rotational and axial flow between concentric cylinders", *JSME*, 7(26) (1964).
5. Nouri, J.M. and Whitelaw, J.H. "Flow of newtonian and non-newtonian fluids in a concentric annulus with rotation of the inner cylinder", *Trans. ASME: J. Fluids Eng.*, **116**, pp. 821-827 (1994).
6. Chung, S.Y. and Sung, H.J. "Large eddy simulation of turbulent flow in a concentric annulus with rotation of an inner cylinder", *Int. J. Heat and Fluid Flow*, **26**, pp. 191-203 (2005).
7. Patankar, S.V., *Numerical Heat Transfer and Fluid Flow*, Washington, McGraw-Hill (1980).